

7. Pat. 3973499 USA, IC<sup>2</sup> F42C19/09. Safe rocket motor igniter using sequenced initiation to and explosive logic network /M.A. Anderson, F.L. Menz. — Publ. 10.08.76.
8. Букреев И.Н., Горячев В.И., Мансуров Б.М. Микроэлектронные схемы цифровых устройств. — М.: Радио и связь, 1990. — 416 с.

107005, г. Москва  
НИИСпецмаш, МГТУ им. Н.Э. Баумана

Поступила в редакцию 14/VII 1993,  
после доработки — 4/II 1994

УДК 539.3:621.7

В.Ф. Нестеренко, Я.Л. Лукьянов, М.П. Бондарь

## ИЗУЧЕНИЕ ДЕФОРМАЦИИ ПРИКОНТАКТНОЙ ЗОНЫ В РЕЖИМЕ ОБРАЗОВАНИЯ “ХОЛОДНОГО” ПОГРАНИЧНОГО СЛОЯ

В работах [1—4] экспериментально обнаружены качественно новые режимы регулярного и нерегулярного отражений ударной волны от контакта пористой среды и монолитного материала на примере порошка меди (нержающей стали) и монолитной меди в цилиндрической геометрии. Их новизна определяется наличием “холодного” пограничного слоя в порошке, примыкающем к монолитному центральному стержню [1—4], и образованием дополнительного, нетрадиционного контактного разрыва, отходящего от физической границы монолита и порошка и ограничивающего “холодный” пограничный слой с внешней стороны [2, 3].

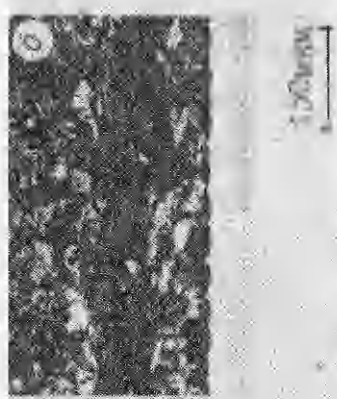
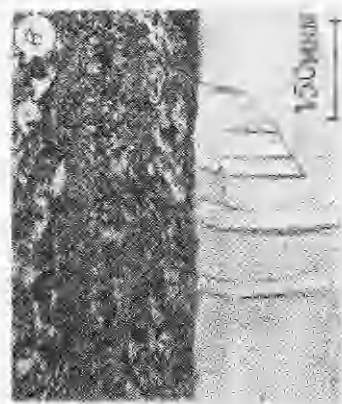
Рассматриваемое явление (“холодный” слой и дополнительный контактный разрыв) экспериментально обнаружено также и на примере других пористых и монолитных материалов [5, 6]. Его механизмы рассматривались в работах [1—8].

Авторы работ [1—8] указывают на определяющую роль отраженных от контакта импульсов сжатия, приводящих к отличию истории нагружения порошка, примыкающего к центральному стержню, от его поведения в условиях стационарного однократного ударно-волнового сжатия. Это и приводит к уменьшению запасаемой внутренней энергии в порошке “холодного” слоя по отношению к более удаленным от контакта областям и к отходу контактного разрыва от физической границы порошок — монолит.

В то же время в подходе авторов [1—4, 7] и [5, 6, 8] имеется и важное различие. Оно состоит в том, что особенность процесса сжатия порошка в “холодном” слое в [1—4, 7] связывается с конечной шириной фронта ударной волны, в связи с чем невозможно интерпретировать процесс его образования с помощью отраженных ударных волн, где состояние за фронтом рассчитывается с помощью ударной адиабаты, а в [5, 6, 8] рассматриваемое явление объясняется воздействием на порошок волн сжатия, вызванных “бугром” пластической деформации, предшествующим основному сжатию в падающей волне.

По нашему мнению, в настоящее время отсутствуют надежные экспериментальные или теоретические доказательства в пользу разделения роли первого и второго механизмов. Так, остаются неясными основные характеристики “бугра” деформации — скорость его распространения, высота, амплитуда массовой скорости. Использование скорости звука для объемных возмущений в материале преграды для разделения режимов отражения не вполне корректно, так как поверхностные пластические возмущения являются качественно другим процессом. Направление асимметричной деформации отдельных гранул [6] не может служить способом определения направления распространения фронта волны в порошке, так как это можно с уверенностью сделать только при коллективном характере деформации многих гранул. Более того, близость характерных размеров “холодно-

© В.Ф. Нестеренко, Я.Л. Лукьянов, М.П. Бондарь, 1994.



го" слоя и частиц порошка делают по крайней мере проблематичным использование континуальных понятий для характеристики отраженных импульсов, таких как фронт волны, ударная адиабата, как впрочем и сам профиль "бугра" с высотой и шириной, сравнимой с размером "холодного" слоя и частиц порошка [6, 8].

В настоящей работе сделана попытка экспериментального определения величины пластической деформации в медном центральном стержне вблизи его контакта с порошком в режиме образования "холодного" пограничного слоя на масштабе  $\sim 100$  мкм. Для этого центральный стержень изготавливали из сплава Cu-Al (0,2 % по массе), а затем проводили его кратковременное внутреннее окисление, что вызвало образование цилиндрической поверхности раздела между окисленным и неокисленным материалом (рис., а — поперечный шлиф стержня), служившей меткой для оценки степени пластической деформации. Толщина окисленного слоя выбиралась равной  $\sim 100$  мкм, что сравнимо с размером "холодного" пограничного слоя (рис., б, в — продольный шлиф капсулы). Режим взрывного нагружения аналогичен [1], скорость детонации 3,6 км/с, диаметр заряда ВВ (аммонит — селитра, 1:1 по объему) — 66 мм, внешний и внутренний диаметры стальной капсулы 16 и 14 мм, диаметр медного стержня 8 мм. Использовался медный порошок с фракцией 40—90 мкм, начальная плотность 5,5 г/см<sup>3</sup>. Как и в работе [9], для оценки деформации вблизи контактной зоны использовались двойники отжига, примыкающие к поверхности контакта. По их искажению, учитывая исходное параллельное прямолинейное расположение границ, можно судить о пластической деформации на масштабах 10 ± 100 мкм. Как видно из представленных рисунков б, в, только в одном месте (рис., в) имелся слабый изгиб двойников, согласованный характер которого говорит о том, что он скорее всего вызван трением высокоскоростного потока о внешнюю границу "холодного" слоя и увлечением поверхности слоя монолитного стержня в направлении данного потока. Типичную картину представляет рис. б, где практически отсутствуют следы пластической деформации, которые можно ожидать на основе сопоставимых размеров "бугра" и "холодного" пограничного слоя [6, 8]. Отметим, что толщина окисленной зоны на стержне не изменилась, как и осталась цилиндрически симметричной ее граница с неокисленным медным сплавом.

Для сравнения приведем картину деформации в контактной зоне при сварке взрывом (рис., г, д). Отметим, что рис. г соответствует скорости точки контакта  $v_k = 1530$  м/с, ( $v_0 = 400$  м/с), а рис. д —  $v_k = 900$  м/с ( $v_0 = 300$  м/с). Видно, что образование "бугра" сопровождается значительной деформацией двойников, связанной с деформацией удлинения и изгиба, а превышение объемной скорости звука над скоростью точки контакта не всегда приводит к опережению точки контакта волной поверхностной пластической деформацией.

Таким образом, экспериментально показано, что образование «холодного» пограничного слоя в исследуемом режиме происходит без заметной пластической деформации прилегающих к контакту слоев монолитного материала на масштабе, сравнимом (или значительно меньшем) толщины "холодного" пограничного слоя. Причина возникновения последнего, как и отход тангенциального разрыва от контакта с монолитом, требует дальнейших исследований.

Помимо обсуждавшихся ранее механизмов данного явления, следует отметить, что на его образование может оказывать влияние и неоднородность в исходной плотности порошка вблизи центрального стержня на масштабе порядка нескольких размеров частиц. Это может быть обусловлено упорядочиванием прилегающих к стержню слоев порошка за счет репродуцирования в его глубину относительно плотной упаковки гранул (вплоть до  $0,74 \rho_0$ , где  $\rho_0$  — плотность Cu), обусловленной двумерной геометрией поверхности. Относительно большая исходная плотность пограничного слоя гранул, естественно, приведет к его меньшему нагреву по сравнению с более удаленными слоями. В этой связи образование "холодного" пограничного слоя может быть аналогично особенностям на контакте двух порций порош-

ков, если они были последовательно уплотнены набивками с плоскими торцами. Как хорошо известно экспериментаторам, после взрывного компактирования в этом случае наблюдается распад прессовки на элементы, соответствующие исходным порциям порошка.

Авторы благодарят Международный научный фонд за поддержку данного исследования.

#### ЛИТЕРАТУРА

1. Kusubov A.S., Nesterenko V.F., Wilkins V.L. et al Dynamic deformation of powdered materials as a function of particle size. — Livermore, 1985. — p. 11. — (Preprint / Lawrence Livermore Lab.; UCID — 20349).
2. Нестеренко В.Ф. Особенности микромеханики порошков при сильном импульсном воздействии // Материалы X Всесоюз. конф. "Численные методы решения задач теории упругости и пластичности". — Новосибирск: ИТПМ СО АН СССР, 1988. — С. 212—220.
3. Нестеренко В.Ф. Влияние на процесс взрывного компактирования структурных параметров порошков // Sborník prednášek Vyuzití Energie Vybucu. III. dil. — Pardubice, 1983. — Р. 410—417.
4. Kusubov A.S., Nesterenko V.F., Wilkins M.L. et al. Dynamic deformation of powdered materials as a function of particle size // Proc. Intern. Seminar of High Energy Working of Rapidly Solidified and High Temperature Superconducting Materials. — Novosibirsk, 1989. — Р. 139—156.
5. Костюков Н.А. Двумерные ударно-волновые течения и структуры порошковых компактов вблизи раздела с деформируемой преградой // Моделирование в механике. — Новосибирск, 1990. — Т. 4 (21), № 6. — С. 76—102.
6. Костюков Н.А. Физические причины и механизмы образования пограничных зон при двумерном взрывном компактировании порошковых материалов // ПМТФ. — 1991. — № 6. — С. 154—161.
7. Нестеренко В.Ф. Импульсное нагружение гетерогенных материалов. — Новосибирск: Наука, 1992. — С. 42—50.
8. Киселев С.П., Руев Г.А., Трунев А.П. и др. Ударно-волновые процессы в двухкомпонентных и двухфазных средах. — Новосибирск: Наука, 1992. — С. 233—237.
9. Бондарь М.П., Оголихин В.М. О пластической деформации в зоне соединения при плавлении взрывом // ФГВ. — 1982. — № 2. — С. 147—151.

630090, Новосибирск,  
ИГиЛ СО РАН

Поступила в редакцию 30/IV 1994

УДК 533.95

B.B. Светцов

### ВЗРЫВЫ В НИЖНЕЙ И СРЕДНЕЙ АТМОСФЕРЕ — СФЕРИЧЕСКИ СИММЕТРИЧНАЯ СТАДИЯ

Исследуются закономерности развития сферически-симметричных взрывов с высокой начальной концентрацией энергии в атмосфере на высоте от 0 до 90 км. Процессы начального энерговыделения не рассматриваются, взрыв считается безмассовым — начальные данные задаются в виде равномерно нагретой сферы с постоянной плотностью воздуха. Результаты получены путем радиационно-газодинамических численных расчетов в диапазоне энергий взрывов от  $4,2 \cdot 10^{12}$  до  $4,2 \cdot 10^{16}$  Дж.

#### Введение

Мощные взрывы в атмосфере могут возникать вследствие выделения энергии ядерных зарядов, а также в результате торможения и быстрой дезинтеграции крупных космических тел. Процессы, происходящие при выделении энергии заряда, могут быть различными в зависимости от взрывного устройства. Однако после торможения продуктов взрыва и поглощения рентгеновского излучения в атмосфере распространяется тепло при почти постоянной плотности воздуха [1]. Поэтому начальное энерговыделение ядерного взрыва можно аппроксимировать областью воздуха с постоянной плотностью и достаточно высокой температурой. Точность такой аппрок-

© B.B. Светцов, 1994